

# I - 83 リ橋の自由振動に関する研究

京都大学工学部 正員 白石成人

同上 学生員 宇都宮英彦

同上 学生員 岩田輝俊

## 1. まえがき

フリ橋の動的性状を解明するにあたって、従来の理論は微小変形の仮定のもとに、ケーブルの変形は鉛直下方へのみによつて近似されるとしてゐる。しかしながら、フリ橋が他の橋梁形式に比較して、たやすく構造物であることを考慮すると、外力の作用する形式によつてはかなり大きなケーブルの水平変位を生ずることが考へられる。また、フリ橋の動的解析において、振動数の計算などではケーブルの剛性が大きな因子となつてゐることから、ケーブルの変形を explicit に含む、フリ橋の自由振動の基礎方程式を誘導し、2, 3 の場合について数值計算をあこなつた。この研究は、できだて一般的に、フリ橋の振動性状を解明せんとする目的から、理論的考察をあこなつたものである。

## 2. 基礎方程式の誘導

フリ橋の自由振動を解析するためには、図-1 に示すようなケーブル、補剛桁、ハンガーよりなる構造系を考え、座標を図示のように選定する。補剛桁の橋軸方向、橋軸直角方向、鉛直方向の変位をそれぞれ  $u(x, y, z)$ ,  $v(x, y, z)$ ,  $w(x, y, z)$  とし、補剛桁中心線の変位を  $u_0(x)$ ,  $v_0(x)$ ,  $w_0(x)$ 、また中心線上にあす接せん角を  $\theta(x)$  とすれば、

$$\begin{aligned} u(x, y, z) &= u_0(x) - \frac{\partial w_0}{\partial x} z - \frac{\partial v_0}{\partial x} y \\ v(x, y, z) &= v_0(x) - \theta(x) \cdot z \\ w(x, y, z) &= w_0(x) + \theta(x) \cdot y \end{aligned} \quad (1)$$

となる。これより、補剛桁の変形エネルギーを求めると

$$\frac{1}{2} \int_{L/2}^{L/2} \left[ (\lambda + 2\mu) \left\{ I_y \left( \frac{\partial^2 w_0}{\partial x^2} \right)^2 + I_z \left( \frac{\partial^2 v_0}{\partial x^2} \right)^2 \right\} + \mu (I_y + I_z) \left( \frac{\partial \theta}{\partial x} \right)^2 \right] dx \quad (2)$$

のようになる。 $I_y$ ,  $I_z$  はそれぞれ  $y$  軸,  $z$  軸にあす断面 2 次モーメント,  $\lambda$ ,  $\mu$  は Lame の常数である。式(2)においては、接せん変形に対する主桁の曲げ抵抗を考慮していないが、これを加えても式の形は何ら影響されず、同じ形となる。上と同様に、 $u$ ,  $v$ ,  $w$  をケーブルの橋軸方向、橋軸直角方向、鉛直方向の変位とし、 $E_c$ ,  $A_c$  をケーブルの Young 種数、断面積とすれば、微小要素  $dx$  に対するケーブルのひずみエネルギーはつきのように表わされる。

$$\begin{aligned} ds &= \sqrt{(h' - w')^2 + (1 + v')^2 + (v')^2} - \sqrt{1 + h'^2} dx \\ &= \sqrt{1 + h'^2} \left\{ \frac{v' - h'w'}{1 + h'^2} + \frac{1}{2} \frac{(w')^2 + 2h'w'v' + h'^2v'^2}{(1 + h'^2)^2} + \frac{1}{2} \frac{(v')^2}{1 + h'^2} \right\} dx \end{aligned} \quad (3)$$

これよりケーブルのひずみエネルギーは

$$\frac{1}{2} \int_{L/2}^{L/2} E_c A_c \left\{ (1 + h'^2)^{-\frac{1}{2}} \frac{ds}{dx} \right\}^2 dx + \int_{L/2}^{L/2} H_w \sqrt{1 + h'^2} \left( \frac{ds}{dx} \right) dx \quad (4)$$

となる。 $H_w$  はケーブル張力の水平成分である。図-2 に示すように、フリ橋構造では 2 本のケーブルの変位は同じでないから、図のように suffix  $l$ ,  $r$  を付けて区別すると、ケーブルの全ひずみエネルギーを計算することができる。

運動エネルギーは、上と同様の表示を用いれば、それが補剛桁、ケーブルについて

$$T_f = \frac{1}{2} \int_{L_2}^{L_1} \frac{w_0}{g A_f} [I_y (\frac{\partial^2 w_0}{\partial x^2})^2 + I_z (\frac{\partial^2 v_0}{\partial x^2})^2 + (I_y + I_z) (\frac{\partial^2 \theta}{\partial t^2})^2 + A_f (\frac{\partial^2 w_0}{\partial t^2})^2] dx \quad (5)$$

$$T_c = \frac{1}{2} \int_{L_2}^{L_1} \frac{w_0}{g} \sqrt{1+h'^2} (u_x^2 + v_x^2 + w_x^2 + u_r^2 + v_r^2 + w_r^2) dx \quad (6)$$

をうることができる。さらに補剛析、ケーブルの鉛直変位による仕事を求めると、

$$W = \int_{L_2}^{L_1} [w_0 w_0 + w_0 \sqrt{1+h'^2} (w_r + w_r)] dx \quad (7)$$

となる。式(5),(6),(7)で、 $w_0$  は補剛析単位長あたりの自重、 $w_0$  はケーブル 1 本、単位長あたりの自重、 $A_f$  は補剛析の絶対面積である。いま、ハンガーの長さが変わらないと仮定すれば

$$f_1 = \left( \frac{h}{2} \frac{\partial^2 u}{\partial x^2} - u_x \right)^2 + (v_0 - v_x)^2 + \left( h + w_0 + \frac{h\theta}{2} - w_r \right)^2 - h^2 = 0 \quad (8)$$

$$f_2 = \left( \frac{h}{2} \frac{\partial^2 v}{\partial x^2} + u_r \right)^2 + (v_0 - v_r)^2 + \left( h + w_0 - \frac{h\theta}{2} - w_r \right)^2 - h^2 = 0 \quad (9)$$

をうる。全運動エネルギーを  $T$ 、全ひずみエネルギーを  $U$ 、Lagrange 乗数を  $\lambda_1, \lambda_2$  とし、つぎの変分をとれば、系の基礎微分方程式が求められる。

$$\delta [T - U + W - \lambda_1 f_1 - \lambda_2 f_2] = 0 \quad (10)$$

ここで、未知関数は 9 個の変位 × 2 個の Lagrange 乗数  $\lambda_1, \lambda_2$ 、計 11 個となるから、これに対して式(10)より求まる 9 個の微分方程式と式(8),(9)の 2 個の拘束条件式、すなわち計 11 個の方程式によって解くことができる。

鉛直たわみ振動については、 $\theta = v_0 = v_r = v_x = 0, \lambda_1 = \lambda_2 = \bar{\lambda}$  により、結局 3 個の方程式と 1 個の拘束条件によってつきのようになる。

$$\begin{aligned} \frac{w_0}{g} \ddot{w}_0 - \frac{w_0}{g A_f} \frac{\partial^2}{\partial x^2} \left( I_y \frac{\partial^2 w_0}{\partial x^2} \right) + \frac{\partial^2}{\partial x^2} \left[ (h+2\bar{\lambda}) I_y \frac{\partial^2 w_0}{\partial x^2} \right] + 4\bar{\lambda}(h+w_0-w) &= w_f \\ \frac{w_0}{g} \sqrt{1+h'^2} \ddot{u} + \frac{\partial^2}{\partial x^2} \left[ E_c A_c \frac{h'w'-v'}{(1+h'^2)^2} \right] - H_w \frac{\partial}{\partial x} \left\{ \frac{h'(w+h'v')}{1+h'^2} \right\} + 2\bar{\lambda} u &= 0 \\ \frac{w_0}{g} \sqrt{1+h'^2} \ddot{v} - \frac{\partial^2}{\partial x^2} \left[ E_c A_c \frac{h'(h'w'-v')}{(1+h'^2)^2} \right] + H_w h'' - H_w \frac{\partial}{\partial x} \left\{ \frac{w'+h'w'}{1+h'^2} \right\} - 2\bar{\lambda}(h+w_0-w) &= 2w_0 \sqrt{1+h'^2} \\ u^2 + (h+w_0-w)^2 &= h^2 \end{aligned}$$

上の第 4 式は拘束条件であるが、実際、 $\bar{\lambda}$  として  $\bar{\lambda} = H_w h''/2h$  のようになり近似することができる。すなわち、 $\lambda_1, \lambda_2$  はハンガーに作用する拘束力を表わす。

### 3. むすび

つり橋の自由振動に関する基礎方程式を誇導し、理論的にその性状を解析したが、その結果、振動 modes は鉛直たわみ型 modes と揺れ型 modes の 2 つに分類される。揺れ振動に際しては鉛直たわみ、橋軸直角方向の水平たわみが連成し、自由振動でもかなり複雑なものとなる。この研究はつり橋の動的性状解析の一環として行われたものであるが、くわしくは当日説明し、また数值計算結果もその際発表する。最後にわれわれは京都大学小西教授に負うところ大である。記して感謝の意を表す。

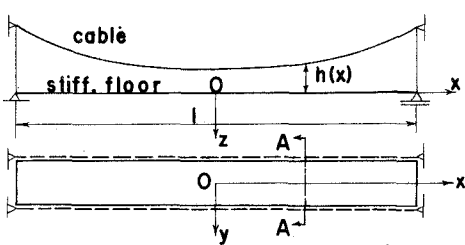


Fig.1

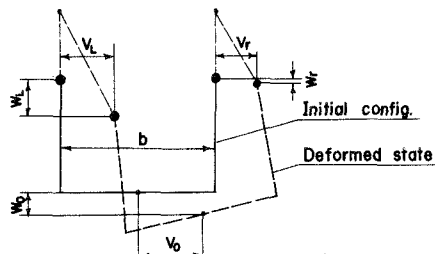


Fig.2 Section A-A